

## BG61

Reflexionsfaktor	
$P_d$	0,915

Referenzdicke	
d [mm]	1

Spektrale Garantiewerte		
$\tau_i$ (405nm)	$\geq$	0.84
$\tau_i$ (514nm)	$\geq$	0.93
$\tau_i$ (633nm)	$\geq$	0.18
$\tau_i$ (694nm)	$\leq$	0.03
$\tau_i$ (1060nm)	$\leq$	0.008

Brechzahl n	
$n_i$ (365.0 nm) =	1.556
$n_h$ (404.7 nm) =	1.549
$n_g$ (435.8 nm) =	1.545
$n_F$ (480.0 nm) =	1.541
Sellmeierkoeffizienten auf Anfrage erhältlich	

Dichte	
$\rho$ [g/cm <sup>3</sup> ]	2,81

Blasenhaltigkeit	
Blasenklasse	2

Chemische Haltbarkeit	
FR Klasse	1.0
SR Klasse	52.3
AR Klasse	3.3

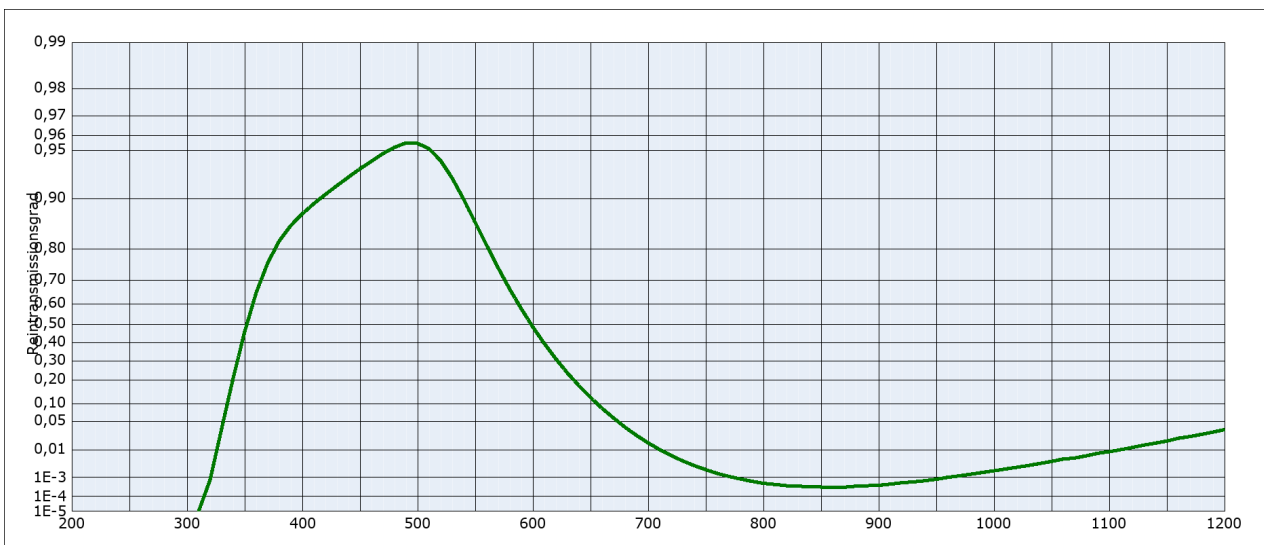
Transformationstemperatur	
Tg [°C]	402

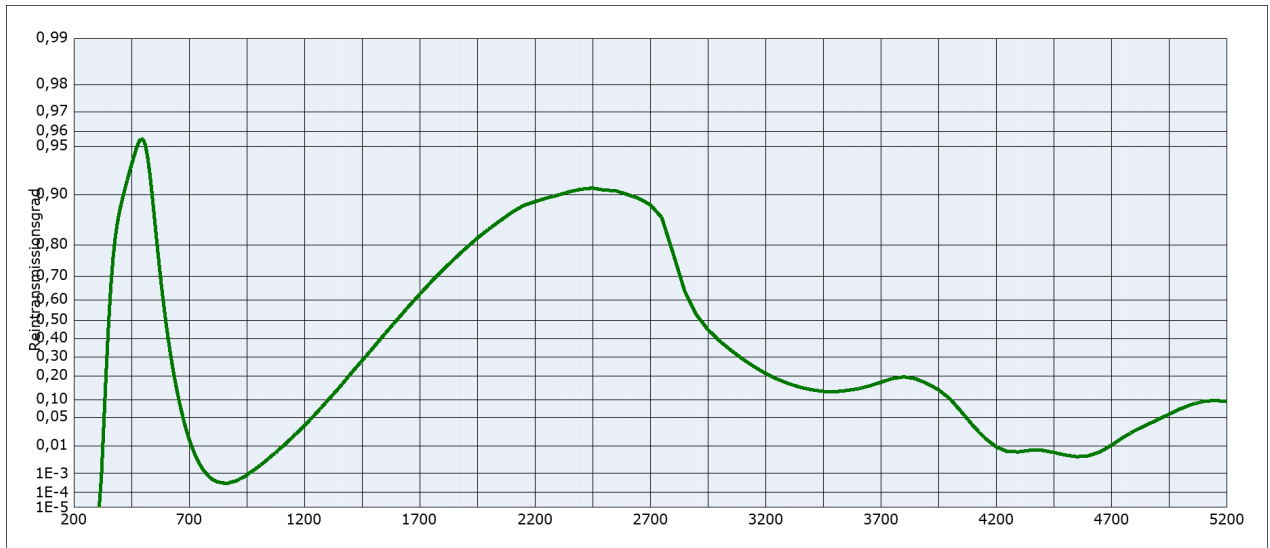
Wärmeausdehnung	
$\alpha_{30/+70^\circ\text{C}}$ [10 <sup>-6</sup> /K]	11,9
$\alpha_{20/300^\circ\text{C}}$ [10 <sup>-6</sup> /K]	13,9
$\alpha_{20/200^\circ\text{C}}$ [10 <sup>-6</sup> /K]	

Temperaturkoeffizient	
$T_K$ [nm/°C]	

Bemerkungen	
Ionengefärbtes Glas	
Bandpassfilter / Kurzpassfilter	
Infrarot-Sperrfilter	
$\lambda_{50\%}$ (Dicke=0.3mm) @ 648 nm	
Langzeitveränderungen des polierten Glases sind unter Umständen möglich.	
Keine sichtbaren Oberflächenveränderungen nach 500h Feuchtekammer bei 85 °C und 85% rh	
Knoophärte HK (0.1/20) = 363	
Alle Angaben ohne Toleranzen sind als Richtwerte zu verstehen.	
Spezifizierte Werte sind lediglich die unter "Spektrale Garantiewerte" aufgeführten Angaben.	

Farbmetrische Auswertung														
Lichtart		A (Planck T = 2856 K)			Lichtart		Planck T = 3200 K			Lichtart		D65 (T <sub>c</sub> = 6504 K)		
d [mm]		1	2	3	d [mm]		1	2	3	d [mm]		1	2	3
x		0,349	0,289	0,250	x		0,328	0,272	0,236	x		0,245	0,210	0,189
y		0,432	0,438	0,435	y		0,415	0,416	0,410	y		0,319	0,307	0,296
Y		60	46	37	Y		62	48	39	Y		68	55	47
$\lambda_d$ [nm]		499	498	497	$\lambda_d$ [nm]		497	496	495	$\lambda_d$ [nm]		490	489	488
$P_e$		0,22	0,37	0,46	$P_e$		0,23	0,37	0,47	$P_e$		0,25	0,39	0,48





**Reintransmissionsgrad  $\tau_i$  bei der Referenzdicke  $d = 1 \text{ mm}$**   
**Die Reintransmissionsgrade, tabellarisch und graphisch, sind als Richtwerte zu verstehen.**

$\lambda$ [nm]	$\tau_i$	$\lambda$ [nm]	$\tau_i$	$\lambda$ [nm]	$\tau_i$	$\lambda$ [nm]	$\tau_i$	$\lambda$ [nm]	$\tau_i$	$\lambda$ [nm]	$\tau_i$
200	$< 10^{-5}$	500	0,955	800	$5,2 \cdot 10^{-4}$	1100	$9,0 \cdot 10^{-3}$	2200	0,890	3700	0,172
210	$< 10^{-5}$	510	0,952	810	$4,5 \cdot 10^{-4}$	1110	$1,0 \cdot 10^{-2}$	2250	0,895	3750	0,189
220	$< 10^{-5}$	520	0,942	820	$4,0 \cdot 10^{-4}$	1120	$1,2 \cdot 10^{-2}$	2300	0,899	3800	0,197
230	$< 10^{-5}$	530	0,926	830	$3,7 \cdot 10^{-4}$	1130	$1,4 \cdot 10^{-2}$	2350	0,904	3850	0,189
240	$< 10^{-5}$	540	0,899	840	$3,5 \cdot 10^{-4}$	1140	$1,6 \cdot 10^{-2}$	2400	0,908	3900	0,167
250	$< 10^{-5}$	550	0,860	850	$3,4 \cdot 10^{-4}$	1150	$1,8 \cdot 10^{-2}$	2450	0,909	3950	0,140
260	$< 10^{-5}$	560	0,808	860	$3,3 \cdot 10^{-4}$	1160	$2,1 \cdot 10^{-2}$	2500	0,906	4000	0,105
270	$< 10^{-5}$	570	0,742	870	$3,3 \cdot 10^{-4}$	1170	$2,4 \cdot 10^{-2}$	2550	0,906	4050	$6,4 \cdot 10^{-2}$
280	$< 10^{-5}$	580	0,663	880	$3,7 \cdot 10^{-4}$	1180	$2,7 \cdot 10^{-2}$	2600	0,900	4100	$3,4 \cdot 10^{-2}$
290	$< 10^{-5}$	590	0,577	890	$3,9 \cdot 10^{-4}$	1190	$3,0 \cdot 10^{-2}$	2650	0,895	4150	$1,7 \cdot 10^{-2}$
300	$< 10^{-5}$	600	0,485	900	$4,1 \cdot 10^{-4}$	1200	$3,4 \cdot 10^{-2}$	2700	0,885	4200	$9,7 \cdot 10^{-3}$
310	$< 10^{-5}$	610	0,395	910	$4,7 \cdot 10^{-4}$	1250	$6,0 \cdot 10^{-2}$	2750	0,862	4250	$6,8 \cdot 10^{-3}$
320	$7,7 \cdot 10^{-4}$	620	0,311	920	$5,6 \cdot 10^{-4}$	1300	$9,8 \cdot 10^{-2}$	2800	0,774	4300	$6,7 \cdot 10^{-3}$
330	$3,6 \cdot 10^{-2}$	630	0,236	930	$6,1 \cdot 10^{-4}$	1350	0,147	2850	0,639	4350	$7,6 \cdot 10^{-3}$
340	0,211	640	0,174	940	$6,9 \cdot 10^{-4}$	1400	0,211	2900	0,529	4400	$7,5 \cdot 10^{-3}$
350	0,461	650	0,125	950	$8,1 \cdot 10^{-4}$	1450	0,280	2950	0,450	4450	$6,4 \cdot 10^{-3}$
360	0,650	660	$8,6 \cdot 10^{-2}$	960	$1,0 \cdot 10^{-3}$	1500	0,353	3000	0,389	4500	$5,2 \cdot 10^{-3}$
370	0,759	670	$5,9 \cdot 10^{-2}$	970	$1,2 \cdot 10^{-3}$	1550	0,429	3050	0,337	4550	$4,6 \cdot 10^{-3}$
380	0,820	680	$3,8 \cdot 10^{-2}$	980	$1,4 \cdot 10^{-3}$	1600	0,499	3100	0,290	4600	$4,9 \cdot 10^{-3}$
390	0,854	690	$2,5 \cdot 10^{-2}$	990	$1,6 \cdot 10^{-3}$	1650	0,566	3150	0,249	4650	$6,6 \cdot 10^{-3}$
400	0,876	700	$1,6 \cdot 10^{-2}$	1000	$1,9 \cdot 10^{-3}$	1700	0,625	3200	0,214	4700	$1,1 \cdot 10^{-2}$
410	0,893	710	$1,0 \cdot 10^{-2}$	1010	$2,2 \cdot 10^{-3}$	1750	0,677	3250	0,187	4750	$1,7 \cdot 10^{-2}$
420	0,906	720	$6,9 \cdot 10^{-3}$	1020	$2,6 \cdot 10^{-3}$	1800	0,721	3300	0,166	4800	$2,6 \cdot 10^{-2}$
430	0,917	730	$4,5 \cdot 10^{-3}$	1030	$3,1 \cdot 10^{-3}$	1850	0,759	3350	0,150	4850	$3,5 \cdot 10^{-2}$
440	0,927	740	$3,0 \cdot 10^{-3}$	1040	$3,7 \cdot 10^{-3}$	1900	0,790	3400	0,139	4900	$4,5 \cdot 10^{-2}$
450	0,935	750	$2,1 \cdot 10^{-3}$	1050	$4,3 \cdot 10^{-3}$	1950	0,817	3450	0,133	4950	$5,8 \cdot 10^{-2}$
460	0,942	760	$1,5 \cdot 10^{-3}$	1060	$5,2 \cdot 10^{-3}$	2000	0,838	3500	0,131	5000	$7,3 \cdot 10^{-2}$
470	0,948	770	$1,1 \cdot 10^{-3}$	1070	$5,7 \cdot 10^{-3}$	2050	0,856	3550	0,136	5050	$8,6 \cdot 10^{-2}$
480	0,952	780	$8,4 \cdot 10^{-4}$	1080	$6,7 \cdot 10^{-3}$	2100	0,872	3600	0,143	5100	$9,6 \cdot 10^{-2}$
490	0,956	790	$6,5 \cdot 10^{-4}$	1090	$8,1 \cdot 10^{-3}$	2150	0,883	3650	0,155	5150	$9,9 \cdot 10^{-2}$